

京都大学工学部 正会員 ○明神 誠  
京都大学大学院 学生員 多田英司

### 1. まえがき

ランプと本線との合流部の交通性状に関しては、待ち行列理論の応用やシミュレーションによるものなど比較的多くの研究がなされている。これに対して本線合流部に対するアプローチは少ないようである。とくにいわゆるY型合流部については、たとえば待ち行列理論の応用などは困難とみられるうこと、Y型合流そのものの実際例が多くないことなどの理由によるとと思われるが、研究例があまりみあたらぬ。本文は、これまでに考察してきたY型合流に対する圧縮性流体モデルによるアプローチについて若干の吟味をあこない、ついでこのモデルをいわゆる側方型合流に拡張することについて検討するものである。

### 2. Y型合流モデルの記述<sup>1), 2)</sup>

図-1のようなY型合流の場合について、つぎの諸量を考える。

$\rho_2(x, t)$ : 断面  $x$ 、時刻  $t$  における交通量

$k_2(x, t)$ : " " 単位巾当り密度

$U_2(x, t)$ : " " 速度

$P_2(x, t)$ : " " 単位巾当り圧力、 $b_2(x)$ : 断面  $x$  の巾員。ただし、 $i = 1, 2$  であって合流区間の下側、上側車線をそれぞれ示す。また、ノーズから下流にむかって距離  $x$  をとる。

合流区間にあって  $x$  軸を横切って相手側車線に移る交通があると、このために移られた側の車線では減速されるものと考える。いま、つぎの2つの量を追加する。

$\delta_{12}(x, t)$ : 断面  $x$ 、時刻  $t$  において車線 1 から 2 へ移る交通量

$\bar{e}(x, t)$ :  $\delta_{12}(x, t)$  によって、2の流れに対して  $x$  軸上負のむきに作用すると仮想する力であって、図-2に示したむきを正とする。

さて、圧力  $P_2$  について  $P_2 = \alpha k_2^n$  なる仮定をおく。また、 $\delta_{12}$  および  $\bar{e}$  については種々の形が考えられるが、それぞれつぎの形を仮定する。

$$\delta_{12}(x, t) = \beta \{ k_1(x, t) - k_2(x, t) \} \quad (1)$$

$$\bar{e}(x, t) = \gamma \delta_{12}(x, t) \{ U_2(x, t) - U_1(x, t) \} \quad (2)$$

$\alpha, \beta, \gamma$  および  $n$  は定数である。 $\delta_{12}$  は車線 1, 2 の密度の差に比例するという直感的なものであり、またこれは移る交通量が大きいほどそして車線 1, 2 の速度差が大きいほど大きくなるであろうということから 2 量の積に比例する形を仮定したものである。 $n = 1$  とし、式(1), (2)をもじいて連続の式および運動方程式から定常流について

$$\left. \begin{aligned} \frac{dU_1}{dx} + U_1 \left( \frac{1}{k_1} \frac{dk_1}{dx} + \frac{1}{b_1} \frac{db_1}{dx} \right) &= -\frac{\theta}{b_1} (1 - k_2/k_1), \quad \frac{dU_2}{dx} + U_2 \left( \frac{1}{k_2} \frac{dk_2}{dx} + \frac{1}{b_2} \frac{db_2}{dx} \right) = \frac{\theta}{b_2} (k_1/k_2 - 1) \\ U_1 \frac{dU_1}{dx} + \left( \frac{1}{k_1} \frac{dk_1}{dx} + \frac{1}{b_1} \frac{db_1}{dx} \right) &= \frac{\theta \gamma}{b_1} (1 - k_2/k_1) (U_2 - U_1), \quad U_2 \frac{dU_2}{dx} + \left( \frac{1}{k_2} \frac{dk_2}{dx} + \frac{1}{b_2} \frac{db_2}{dx} \right) = -\frac{\theta \gamma}{b_2} (k_1/k_2 - 1) (U_2 - U_1) \end{aligned} \right\} \quad (3)$$

$$U_1 = U_1/\sqrt{\alpha}, \quad U_2 = U_2/\sqrt{\alpha}, \quad \theta = \beta/\sqrt{\alpha}$$

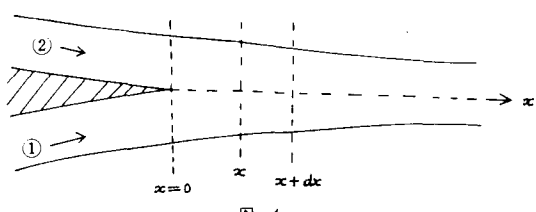


図-1 Y型合流

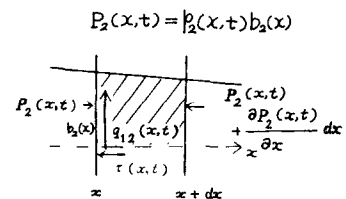


図-2 敷小部分に働く力

ただし、 $k_1, k_2$ に同じしてつきの条件をあく。 $k_1 > k_2$ 。この条件は、 $k_1 < k_2$ （したがって  $u_1 > u_2$ ）のとき  $\theta_{12} < 0$  にもかかわらず  $\theta > 0$ 、すなわち車線2から1への移行があこるにもかかわらずこのために車線2の流れを減速させるむきに力でがゆらくという矛盾を除くためである。Y型合流の場合にはこの条件をあくことによってモデル自体の一般性を失うことはない。また、対称な合流区间を考えているので、 $k_1 > k_2$  の範囲内の解をえておけばよいからである。

式(3)を初期条件  $U_1(0), k_1(0)$  に対してもとけば断面Xにおける  $U_2, k_2$  がえられる。ここで、 $U, k$  に同じして  $U = -\ln(k/k_c)$  の関係が成りたつことが示されている。また、 $k_c$  は臨界速度であることも示されている。

### 3. Y型モデルの検討

式(3)から  $k_1, k_2$  の挙動について吟味する。式(3)から

$$\begin{aligned}\frac{dk_1}{dx} &= \frac{k_1}{b_1} \left[ -\frac{db_1}{dx} + \frac{\theta(1-k_2/k_1)\{\gamma(U_2-U_1)+U_1\}}{1-U_1^2} \right] \\ \frac{dk_2}{dx} &= \frac{k_2}{b_2} \left[ -\frac{db_2}{dx} + \frac{\theta(1-k_1/k_2)\{\gamma(U_2-U_1)+U_2\}}{1-U_2^2} \right]\end{aligned}\quad (4)$$

ここで、巾員係数  $b_1, b_2$  を  $x$  の減少関数とすると  $-db_1/dx, -db_2/dx > 0$  である。初期密度の与え方によってつぎの三つのケースが生じる。式(4)の右辺に内ね2項を  $i_1, i_2$  とおく。また、 $\theta, \gamma > 0$  である。

(1)  $k_c > k_1(0) > k_2(0)$ ,  $k_c = k_j e^{-1}$  ( $U_c = 1$ ) のとき:  $U_2(0) > U_1(0) > 1$  より、 $x = 0$  において  $i_1 < 0, i_2 > 0$  すなわち、合流区间において入口近くでは、車線2の密度は常に増加傾向にあるのに対し、車線1では密度は

$$\begin{aligned}-db_1/dx + i_1 &> 0 \quad \text{のとき増加} \\ -db_1/dx + i_1 &< 0 \quad \text{のとき減少}\end{aligned}$$

する。 $b_1$  が与えられたとき、このいぢれであるがは  $k_1(0), k_2(0)$  の大きさに依存する。一定の  $k_1(0)$  に対して  $k_1(0) \rightarrow k_c$  とすると  $U_1 \rightarrow 1+0$  したがって  $i_1 \rightarrow -\infty$  となる。すなわち  $dk_1/dx \rightarrow -\infty$  より、密度は急速に減少する。

(2)  $k_1(0) > k_c > k_2(0)$  のとき:  $i_1 > 0, i_2 > 0$  ( $x = 0$ )。車線1、2ともに密度増加傾向を示し、さらに下流にむかって増加しつづける。この結果  $k_2(x) \rightarrow k_c - 0$  となつてある断面で  $i_2 \rightarrow \infty$  すなわち  $dk_2/dx \rightarrow \infty$  となり、これより下流にむかっての計算はできない。 $k_1(0) > k_c$  なる初期条件を与えておいて、下流にむかって計算を進めることが問題であろう。

(3)  $k_1(0) > k_2(0) > k_c$  のとき:  $i_1 > 0, i_2 < 0$ 。したがって密度の小さい車線2の方に減少傾向が存在することもうがわわれ、実際現象としても納得できなさい。

### 4. 側方型合流への拡張に関する考察

この場合には側方から通過本線にむかっての車の移行だけがあこり、逆むきの移行があることはない。Y型合流の場合には式(1), (2)の形を仮定して、 $k_1 > k_2$  の範囲について

考えても、構造的に対称であるために、一般性を失なうことはながったのであるが、側方型の場合には  $\theta_{12}$  を式(1)のように仮定するわけにはいがなう。一つの方法として

$$\theta_{12} = \beta' k_1 (1 - k_2/k_j) \quad (5)$$

のような形が考えられるが、式の形は残念複雑になる。また、この形は式(1)と基本的に異なるので、Y型と側方型の交通性状の比較という問題にたえられない。式(5)を仮定するとしても式(2)をもちいることとすると  $\theta > 0$  であるためにはやはり  $k_1 > k_2$  ( $u_1 < u_2$ ) でなければならぬので、この点についても改良を要する。

参考文献 1) 明神 言正; 高速道路合流部の交通流モデル. 第28回土木学会年次講演概要, 第4部. 49年10月  
2) " " ; " " (2), 昭和49年度土木学会関西支部講演概要. 49年5月